



رديابي شی متدرك در ویدیو با استفاده از الگوريتم بهينه سازی ازدحام ذرات به صورت فازی

مهرداد روحانی^۱، حسن فرسی^۲، سید حمید ظهیری ممقانی^۳

^۱ دانشجوی دکتری مهندسی برق، گروه مخابرات، دانشگاه بیرجند، M.ruhani@birjand.ac.ir

^۲ استاد، دانشکده برق و کامپیوتر، گروه مخابرات، دانشگاه بیرجند، Hfarsi@birjand.ac.ir

^۳ استاد، دانشکده برق و کامپیوتر، گروه الکترونیک، دانشگاه بیرجند، Hzahiri@birjand.ac.ir

پذيرش: ۱۳۹۸/۱۱/۱۶

ویرايش: ۱۳۹۸/۰۷/۳۰

دریافت: ۱۳۹۸/۰۳/۰۵

چکیده: امروزه یکی از اساسی ترین فرآیندها به منظور ادراک محتوا ویدیو، ریدیابی اشیا متدرك است که در آن فرآیند مکان یابی شی متدرك، در هر فریم از ویدئو صورت می‌گیرد. در یک فرآیند ریدیابی لازم است، هدف توسط یک ویژگی توصیف شود. در این مقاله به منظور توصیف شی متدرك و رفع حساسیت به ظاهر هدف، از هیستوگرام وزن دار رنگ به عنوان ویژگی هدف متدرك استفاده شده است. تاثیر پیکسل های لبه شی هدف در ویژگی آن کاهش داده شود. این کار حساسیت الگوریتم را به تغییر حالت، تغییر مقیاس و چرخش کاهش داده و اثر انسداد جزئی بر توصیف ویژگی هدف متدرك نیز کاهش می‌یابد. در روش پیشنهادی، از الگوریتم بهینه سازی ازدحام ذرات به صورت فازی شده در فرآیند جستجوی هدف استفاده می‌شود. نحوه تعیین موقعیت هدف براساس پیشنهاد شدن تابع شبات و محاسبه کمترین فاصله باتاچاریا است. پارامترهای کنترلی فازی شده برای الگوریتم بهینه سازی ازدحام ذرات استفاده شده است که یک روش نوین را ارائه می‌کند، این کار می‌تواند هر پارامتر کنترلی را به موقع و طبق حالات مختلف هر ذره در هر نسل تنظیم و به روزرسانی کند. الگوریتم ازدحام ذرات اصلاح شده توسط ۱۱ تابع محکم مورد ارزیابی قرار گرفته است. آزمایش ها نشان می‌دهند که الگوریتم اصلاح شده در تعداد تکرار پایین همگرایی بسیار مطلوبی را نتیجه می‌دهد. روش پیشنهادی در مقایسه با روش های پیشرفت و جدید به عملکرد خوبی در معیارهای دقیق و نرم موقفیت روی پایگاه داده OTB50 دست یافته است.

كلمات کلیدی: ریدیابی شی متدرك، الگوریتم بهینه سازی ازدحام ذرات اصلاح شده، ویژگی هیستوگرام رنگی وزن دار.

Moving object tracking in video by using fuzzy particle swarm optimization algorithm

Mehrdad Rohani, Hasan Farsi, Seyedhamid Zahrimamaghani

Abstract: Nowadays, one of the most fundamental processes for realization video of contents is the object tracking, in which the process of location the moving object is performed in each video frame. In tracking process, the target must be described by a feature. In this paper, for the purpose of describing the target and removing the appearance sensitivity, the weighted color histogram is used as a target feature in order to reduce the effect of edge pixels on the target feature. This reduces the sensitivity of the algorithm to change deformation, scale variation and rotation, as well as the occlusion on the description of target feature. In the proposed method, particle swarm optimization algorithm has been used for search process. Maximization of the similarity function and calculating the minimum Bhattacharyya distance are used to determine target location. The fuzzy control parameters are used for the particle swarm optimization algorithm, which provides a novel method, which can regulate each control parameter and update according to the different states of each particle

in each generation. The improved particle swarm algorithm is evaluated with 11 benchmark functions. The obtained results by improved algorithm show that appropriate convergence in a low number of iterations. The proposed method compared to state-of-the-art methods provides high performance in the success and precision rate on the OTB50 dataset.

Keywords: Object tracking, Improved particle swarm optimization algorithm, Weighted color histogram feature.

جدید ارائه کرد اما به دلیل پیچیدگی بالای این الگوریتم، بازده محاسباتی و سرعت آن پایین بود [۱۳]. به طور کلی استفاده از روش‌های مبتنی بر فیلتر در برخی از چالش‌های موجود در فرآیند رديابی ایند تغییر شکل و چرخش‌های ناگهانی با مشکل مواجه می‌شوند به طوری که هدف را از دست داده و در برخی موارد قادر به بازیابی آن نیستند. از آنجایی که در سال‌ها اخیر استفاده از روش‌های فراابتکاری در ابعاد مختلف علوم مهندسی رونق گرفته است، در حوزه‌ی رديابی نیز به عنوان دسته‌ی دیگری از روش‌های از الگوریتم‌های فراابتکاری استفاده شده است. در این حوزه از الگوریتم‌های فراابتکاری به منظور فرآیند جستجو بهره می‌گیرند. الگوریتم‌های متنوعی در این حوزه وجود دارد. در سال ۲۰۱۳ مینگ لیانگ ژاو^{۱۱} از الگوریتم کرم شب تاب^{۱۲} برای جستجو درون یک فریم بهره گرفت [۱۴]. در این روش پارامترهای استفاده شده ثابت بود و تنها برای برخی از دنباله‌ها بهینه بود. این روش با تغییر زمینه شی متخرک استفاده از ویژگی هیستوگرام گرادیان جهتدار و الگوریتم بهینه‌سازی ازدحام ذرات روش جدیدی را برای رديابی شی متخرک در ویدیو ارائه دادند [۱۵]. این روش نیز در حالتی که شی متخرک با چرخش همراه بود هدف خود را از دست می‌داد. پس از آن فنگ شا^{۱۳} الگوریتم ازدحام ذرات جدیدی به نام CPSO^{۱۴} معرفی کرد که در آن پارامتر وزن اینرسی طبق یک تابع و براساس برآزنده‌گی ذرات در هر تکرار بروزرسانی می‌شد [۱۶]. در این روش تنها سرعت عبور از پاسخ بهینه مورد بحث قرار گرفته بود و با تغییرات ناگهانی زمینه و چرخش در یک فریم، هدف قابل رديابی نبود. چانگسوک^{۱۵} نمونه‌ی دیگری از الگوریتم بهینه‌سازی ذرات به نام ADSO^{۱۶} ارائه کرد که در آن موقعیت هر عامل جستجو درون یک فریم از ویدیو براساس روابط جدیدی بیان می‌شد [۱۷]. در این روابط درصدی از مکان جدید شی متخرک وابسته به مکان قبلی شی متخرک بود. با این حال تمامی پارامترهای الگوریتم بهینه‌سازی ازدحام ذرات در این روش ثابت بود.

۱- مقدمه

در سال‌های اخیر فناوری رديابی اشیا موضوع مهمی در بینایی ماشینی بوده است. محققین زیادی الگوریتم‌های رديابی اشیا را بررسی کرده‌اند اما به دلیل وجود مواردی مانند پیچیدگی ظاهر شی، پیچیدگی پس زمینه و انسداد شی، رديابی اشیا یک موضوع چالش برانگیز بوده است. اگرچه روش‌های پیچیده‌ی زیادی برای این امر وجود دارند اما هر یک از آن‌ها شرایط خاص و محدودیت‌های خود را دارد. رديابی اشیا در موارد متفاوتی مانند رباتیک و نظارت بر سیستم نقلیه به صورت هوشمند [۱]، رديابی اهداف متخرک هوایی و کاربردهای نظامی [۲] استفاده می‌شود. مسئله روش‌های همچنان با چالش‌هایی مانند تغییرات شکل هدف، تغییرات مقیاس، انسداد و چرخش رویرو است و نیازمند آن است تا پژوهش در این حوزه روش‌های مقاوم با این چالش‌ها ارائه گردد [۵-۳].

تکنون روش‌های متنوعی در حوزه رديابی در ویدیو مطرح گردیده است. دسته‌ای از این روش‌های از فیلترهای مختلف برای فرآیند جستجو در یک فریم از ویدیو بهره می‌گیرند. متدالول ترین این الگوریتم‌ها عبارتند از روش‌های رديابی مبتنی بر فیلتر همبستگی^۱ [۶-۸]. الگوریتم‌های رديابی مبتنی بر فیلتر همبستگی عبارتند از فیلتر همبستگی با کرنل^۲، رديابی توسط یادگیری^۳ [۹]، ردياب فضای مقیاسی متمایز^۴ [۱۰] و محیط زمانی-مکانی^۵ [۱۱]. به طور کلی، قائله‌ی جستجوی هدف متخرک در استفاده از فیلتر همبستگی عبارت است از این که برای هدف یک همبستگی در پنجره‌های مختلف تصویر محاسبه می‌شود. در همین راستا بولم^۶ روش جمع کمینه‌ی خروجی مربع خطای^۷ را براساس فیلتر تطبیقی همبستگی ارائه داد [۱۲]. این الگوریتم از اولین الگوریتم‌هایی است که فیلترهای همبستگی را معرفی کرد. پس از آن هنریکس^۸ یک فیلتر همبستگی ارائه کرد که دارای مسئله‌ی رگرسیون با ماتریس دایروی بود تا روش‌ها با کرنل‌های مختلف را توسعه فیلتر همبستگی بهبود بخشد [۶]. سپس استفاده از کرنل‌های مختلف را توسط فیلتر جمع کمینه‌ی خروجی مربع خطای را با هیستوگرام گرادیان جهت دار^۹ تعویض کرد و با استفاده از این ویژگی و فیلتر همبستگی، یک الگوریتم

^{1۰} Histogram of Gradient

^{1۱} Ming-Liang Gao

^{1۲} Firefly

^{1۳} Feng Sha

^{1۴} Categorized Particle Swarm Optimization

^{1۵} Changseok

^{1۶} Adaptive Discrete Swarm Optimization

¹ Correlation Filtering

² Kernelized Correlation Filter

³ Tracking-Learning-Detection

⁴ Discriminative Scale Space Tracker

⁵ Spatio-Temporal Context

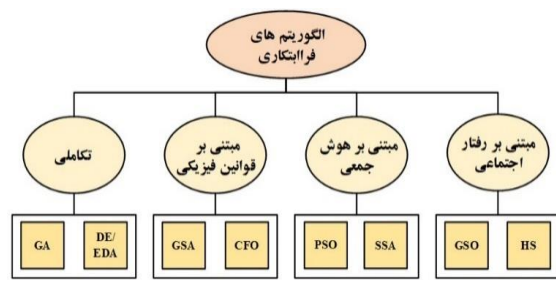
⁶ Bolme

⁷ Minimum Output Sum of Squared Error

⁸ Henriques

⁹ Martin

جواب را تغییر می دهند در حالی که روش های مبتنی بر جمعیت در حین جستجو مجموعه جواب ها را در نظر می گیرند. در حالت کلی این نوع روش ها نسبت به روش های تک نقطه ای کندرت هستند و قادرند تا پاسخ های مطلوب تری را تولید کنند اما به دلیل پیشرفت در قدرت محاسبات کامپیوتوری روش های مبتنی بر جمعیت دارای اهمیت بالاتری هستند که از جمله این روش ها می توان به روش های PSO، WOA، SSA و ... اشاره کرد [۲۱-۲۲]. تمامی این روش ها جزو دسته روش های الهام گرفته از طبیعت هستند. شکل ۱ دسته بندی الگوريتم های فراباتکاری را نمایش می دهد که شامل روش های GA^{۱۲}، DE/EDA^{۱۳}، GSA^{۱۴}، CFO^{۱۵}، PSO^{۱۶}، SSA^{۱۷}، GSO^{۱۸} و HS^{۱۹} می باشد.



شکل ۱: دسته بندی الگوريتم های تکاملی [۲۰].

در سال های اخیر الگوريتم بهینه سازی ازدحام ذرات^{۲۱} یک الگوريتم بهینه سازی بسیار پر کاربرد در حوزه بهینه سازی بوده است. بسیاری این الگوريتم را به صورت های مختلف و بسته به نوع کاربرد آن بهبود بخشیده اند. در سال ۱۹۹۵، دکتر کنده و ابرهارت^{۲۲}، الگوريتم بهینه سازی ازدحام ذرات را برای بهینه سازی توابع غیر خطی ارائه دادند. این الگوريتم پارامترهای کنترلی در این الگوريتم به صورت مستقیم بر سرعت همگرایی و صحت الگوريتم اثر می گذشت [۲۲]. در سال ۱۹۹۸، ابرهارت و شی^{۲۳} پارامتر جدیدی را به نام وزن اینرسی ارائه دادند. نتایج شیوه سازی نشان داد که این پارامتر جدید تاثیر زیادی بر بهینه ساز ازدحام ذرات دارد و وقتی وزن اینرسی ۰/۷۲۹۸ باشد این الگوريتم نتایج قابل قبولی را ارائه می داد [۲۳]. در سال ۲۰۰۶ چاترجی و سیاری^{۲۴} شیوه تنظیم کامنه غیر خطی را بر طبق تعداد تکرارها، برای تنظیم وزن اینرسی معرفی کردند. این شیوه اجازه می داد تا وزن اینرسی به طور غیر خطی از مقدار بیشینه به مقدار کمینه کاهش یابد [۲۴]. در سال ۲۰۰۸، ژو^{۲۵} روش تنظیم تصادفی وزن اینرسی را برای بهبود عملکرد کلی بهینه سازی ارائه داد [۲۵]. در سال ۲۰۱۰ نیکنام و همکارانش الگوريتم PSO اصلاح شده ای را برای پخش بار اقتصادی در سیستم ها قدرت معرفی کرد که در آن پارامترهای کنترلی C_1 و C_2 به

به طور کلی تاکنون روش های متعددی برای رديابي يك شی متاخر در ويدیو مطرح شده است که هر يك از آنها دارای توانمندی ها و ضعف های متفاوتی هستند. الگوريتم بهینه سازی ازدحام ذرات يك از سریعترین و ساده ترین الگوريتم هایی است که در حوزه الگوريتم های تکاملی معرفی شده است. از طرفی این الگوريتم دارای پارامترهای کنترلی زیادی است که کاربر را قادر می سازد با توجه به نیاز و کاربرد مورد نظر این پارامترها را تغییر دهد. از آن جایی که ماهیت رديابي شی متاخر نیاز با یافتن پاسخ بهینه سراسری در هر فریم دارد بنابراین، با توجه به این که تغییرات محیط و پس زمینه و دیگر چالش ها در يك فریم از ویدیو وجود دارد و همچنین با توجه به ثابت بودن پارامترهای کنترلی در الگوريتم بهینه سازی ازدحام ذرات، ممکن است این الگوريتم در پاسخ های محلی گرفتار شده و فرآیند رديابي را با شکست مواجه کند. با توجه به روش های ارائه شده تاکنون و ثابت بودن پارامترهای کنترلی و اهمیت مقاومت يك روش در حوزه رديابي و پویایی آن با توجه به شرایط و چالش های موجود در فرآیند رديابي، ما را برآن داشت تا در عین سادگی به طراحی مدلی از الگوريتم بهینه سازی ازدحام ذرات به نام FPSO^{۲۶} پردازیم. مزیت FPSO نسبت سایر مدل های ارائه شده در بهینه بودن پارامترهای کنترلی در کل زمان فرآیند رديابي است که، مهمترین عامل برای داشتن يك فرآیند رديابي موفق و مقاوم است.

۲- الگوريتم PSO فازی شده پیشنهادی

اصطلاح متاهیوریستیک^{۲۷} اولین بار توسط گالور^{۲۸} در سال ۱۹۹۳ به هنگام معرفی روش جستجوی ممنوع^{۲۹} به کار برده شد. این روش ها قادرند تا از پاسخ های بهینه محلی خارج شوند و در زمان کوتاهی به سوی پاسخ بهینه سراسری^{۳۰} حرکت کنند. عامل مهم در این روش ها تعادل پویا بین فرآیندهای اکتشاف^{۳۱} و استخراج^{۳۲} است. فرآیند اکتشاف قادر است تا فضای پاسخ را به خوبی جستجو کند و فرآیند استخراج، عملیات کاوش را در فضاهای محتمل تر انجام می دهد و باعث عدم اتلاف زمان در نواحی از فضای جستجو می شود که احتمال وجود پاسخ بهینه در آن پایین است. روش های فراباتکاری توسط دسته بندی های مختلفی از قبیل روش های مبتنی بر یک جواب و مبتنی بر جمعیت، الهام گرفته شده از طبیعت و بدون الهام از طبیعت، با حافظه و بدون حافظه و قطعی احتمالی تقسیم بندی می شوند. برخی از روش ها قادر حافظه هستند یعنی از اطلاعات به دست آمده در حین جستجو استفاده نمی کنند این در حالی است که برخی از روش های فراباتکاری از اطلاعات به دست آمده در حین جستجو بهره می گیرند. روش های مبتنی بر یک جواب در حین فرآیند جستجو یک

^{1۲} Central Force Optimization

^{1۳} Particle Swarm Optimization

^{1۴} Salp Swarm Optimization

^{1۵} Glowworm Swarm Optimization

^{1۶} Harmony Search

^{1۷} Particle Swarm Optimization

^{1۸} Kennedy and Eberhart

^{1۹} Shi and Eberhart

^{2۰} Chatterjee and Siarr

^{2۱} Zhu

¹ Fuzzy Particle Swarm Optimization

² Metahuristic

³ Glover

⁴ Tabu search

⁵ Local

⁶ Global

⁷ Exploration

⁸ Exploitation

⁹ Genetic Algorithm

^{1۰} Differential Evolution/Estimation of Distribution Algorithm

^{1۱} Gravitational Search Algorithm

است که ذرات به سمت پاسخ بهينه ميل می کنند. ذرات از يكديگر می آموزند و برمبنای دانش بدست آمده به سمت بهترین همسایگان خود می روند اساس کار PSO بر اين اصل استوار است که در هر لحظه هر ذره مکان خود را در فضای جستجو با توجه به بهترین مكانی که تاکنون در آن قرار گرفته است و بهترین مكانی که در کل همسایگی اش وجود دارد، تعظيم می کند. در فضای n بعدی هر ذره دارای يك موقعیت است که توسط بردار x_i به صورت زیر مشخص می گردد [۱۸].

$$x_i = (x_{i1}, x_{i2}, \dots, x_{in})$$

که در آن x_{in} ييانگر موقعیت ذره i ام در بعد n ام است. همچنین برای هر ذره يك بردار سرعت v_i تعريف می شود که به صورت زير نمايش داده می شود.

$$v_i = (v_{i1}, v_{i2}, \dots, v_{in})$$

که در آن v_{in} ييانگر سرعت ذره i ام در بعد n ام است. برای هر ذره بهترین موقعیت $P_{i,best}$ در هر بعد به صورت زير نشان داده می شود.

$$P_{i,best} = (p_{i1}, p_{i2}, \dots, p_{in})$$

که در آن p_{in} نشان دهنده بهترین موقعیت ذره i ام در بعد n ام است. و بهترین موقعیت ذره در بين کل ذرات به صورت زير نشان داده می شود.

$$P_{g,best} = (p_{g1}, p_{g2}, \dots, p_{gn})$$

سرعت و مكان هر ذره در هر تکرار با استفاده از روابط (۱) و (۲) بهروزسانی می شود [۱۸].

$$V_i(t) = w * V_i(t-1) + C_1 * rand_1 * (P_{i,best} - X_i(t-1)) + C_2 * rand_2 * (P_{g,best} - X_i(t-1)) \quad (1)$$

$$X_i(t) = X_i(t-1) + V_i(t) \quad (2)$$

در روابط (۱) و (۲)، $i = 1, 2, \dots, Popsize$ است و $Popsize$ تعداد ذرات (عوامل جستجو) را ييان می کند. w ضريب وزني اينرسی (حرکت در مسیر خودی) است که نشان دهنده ميزان تأثير بردار سرعت تکرار قبل $V_i(t-1)$ بر روی بردار سرعت در تکرار فعلی $V_i(t)$ است. $rand_1$ و $rand_2$ اعداد تصادفي با توزيع يکوتراخت در بازه صفتا يك هستند و اثر C_1 تصادفي بودن را در حرکت فردی و گروهی ذرات ايجاد می کنند. ضريب ثابت آموزش برای تعظيم اثر حرکت فردی است و C_2 ضريب ثابت آموزش برای تنظيم اثر حرکت گروهي است. X_i نشان دهنده بردار موقعیت هر ذره می باشد. ضرابی w ، C_1 و C_2 پارامترهای کنترلی الگوريتم PSO هستند که با توجه به نوع مسئله به صورت تجربی تعیین می گردد. به طور معمول مقدار وزن اينرسی w در حدود مقادير مثبت کمتر از يك در نظر گرفته می شود. مقادير C_1 و C_2 نيز به طور معمول حول مقدار ۲ در نظر گرفته می شوند [۱۸].

صورت فازي کنترل می شدند [۲۶]. تفاوت روش پيشنهادي با اين روش در نوع و تعداد ورودی و خروجي های سистем فازي و نحوه تعريف توابع عضويت است که روش پيشنهادي از تعداد خروجي های بالاتر و ورودي های متفاوت با اين روش بهره گرفته است. در سال ۲۰۱۳ مالدونادو^۱ از الگوريتم ژنتيك و الگوريتم PSO بهره گرفت تا دور موتور يك موتور DC را به صورت فازي کنترل کند [۲۷]. در سال ۲۰۱۶ توماس و همكارانش^۲ مدل بهبود يافته اي از الگوريتم PSO ارائه دادند که در آن پارامترهای C_1 و C_2 مانند مرجع [۲۶] به صورت فازي کنترل می شدند با اين تفاوت که اين پارامترها برای هر عامل جستجو در فضای پاسخ متفاوت بود [۲۸]. در سال ۲۰۱۷ اولياس و همكارانش^۳ دو مدل فازي از الگوريتم های PSO و بهينه سازی زنبور عسل^۴ را برای کنترل مسیر يك ربات طراحی کردند [۲۹]. در اين روش پارامترهای C_1 و C_2 به صورت فازي کنترل می شدند با اين تفاوت که، ورودي سیستم فازي پارامتر جديده بود که مشخص می گرد چه تعداد از عوامل جستجو نزديك هم هستند و همچنین براساس آن پارامترهای کنترلي تعين می شدند. در سال ۲۰۱۸ والذ و همكارانش^۵ برای کنترل سطح آب و تعين دماي آن توسط دو سیستم فازي را با استفاده از الگوريتم های PSO و الگوريتم بهينه سازی کلوني مورچگان^۶ معرفی کردند [۳۰]. در اين روش نيز پارامترهای کنترلي C_1 و C_2 در الگوريتم PSO به صورت فازي کنترل می شدند. در اين الگوريتم يكى از ورودي های سیستم فازي پارامتر وزن اينرسی بود که با توجه به اين که اين پارامتر مقدار ثابتی در طول اجرای الگوريتم دارد تابراين برخى از قوانین فازي بكار رفته در اين روش داراي کارابي لازم نبودند.

ناکنون روش های متنوعی برای فازي کردن الگوريتم PSO معرفی شده است که هر کدام بسته به نوع کاربرد و هدف مورد استفاده، پارامترهای کنترلي موجود در الگوريتم را مورد تغيير و بررسی قرار داده اند. روش پيشنهادي معرفی شده علاوه بر پارامترهای C_1 ، C_2 و همچنین وزن اينرسی، تعداد عوامل جستجو را با توجه به روند پيشرفت الگوريتم مورد تغيير قرار داده است که يكى از پارامترهای خروجي در سیستم فازي است. روش های معرفی شده هر کدام از ورودي های متفاوتی برای سیستم فازي استفاده کرده اند در حالی که روش پيشنهادي به جای معرفی پارامتر جديده سعی در استفاده از پارامترهای موجود در الگوريتم PSO را داشته است تا از پيچيدگي الگوريتم کاسته شود. در ادامه به بررسی الگوريتم PSO متداول و روش پيشنهادي پرداخته شده است.

۱-۲- معرفی الگوريتم PSO متداول

الگوريتم بهينه سازی از دحام ذرات از دسته الگوريتم های فرآيندکاري است که مبنی بر هوش جمعی بوده و الهام گرفته شده از رفتار اجتماعی پرندگان است. نتيجه های مدل سازی اين رفتار اجتماعی فرآيند جستجوی

⁵ Valdez et al

⁶ Ant Colony Optimization

⁷ Inertia weight

¹ Maldonado

² Tomasz et al

³ Olivas et al

⁴ Bee Colony Optimization

محلی همگرا شود. در بسیاری از پژوهش‌ها براساس تاثیر بالای وزن بر رفتار جستجوی الگوريتم، عملکرد بهينه سازی آن را با تغيير وزن بهبود بخشیده‌اند. در حال حاضر، روش‌های بهبود يافته‌های برای تنظيم وزن ارائه شده است که می‌توان به انتخاب تصادفي وزن به جای مقدار ثابت، انتخاب وزن به صورت خطی و غيرخطی اشاره کرد. در استفاده از این روش‌ها اين احتمال وجود دارد تا هنگامی که الگوريتم در ابتدا و یا انتهای فرآيند جستجو در يك نقطه بهينه محلی قرار گرفته است، در همان نقطه گرفتار شده و الگوريتم به پاسخ بهينه سراسري همگرا نشود. در فرآيند جستجوی PSO، نزديكرين ذره به بهترین جواب، ذره بهينه نام دارد و ديجر ذرات زيربهينه هستند. باید توجه کرد که ممکن است در فرآيند نزديك شدن ذرات به بهترین پاسخ، مقدار پاسخ ذرات زيربهينه از مقدار ذره‌ای بهينه بيشتر باشد در اين حالت، ذره زيربهينه که مقدار بهتری دارد جای ذره بهينه را می‌گيرد. اين وضعیت به طور مدام اتفاق می‌افتد. وقتی ذرات از بهترین جواب دور باشند، باید فرآيند چند بار تكرار شود تا بهترین پاسخ نزديك شوند. به دليل اين که ذره بهينه به سرعت بالايی برای رسيدن به بهترین پاسخ لازم دارد، مقدار وزن باید نسبتاً بالا باشد. سرعت ذرات زيربهينه با سرعت قبلی آن‌ها و فاصله آن‌ها تا ذره بهينه تعين می‌شود بنابراین، ذرات زيربهينه هم به وزن بالا نياز دارند. اما ممکن است در ابتدای فرآيند جستجو ذره بهينه بسيار نزديك به پاسخ بهينه باش. بنابراین در اين حالت ممکن است ذرات زيربهينه با سرعت بالا به بهترین جواب نزديك شوند و از ناحيه بهترین پاسخ با سرعت عبور کنند که اين امر سبب می‌شود که ذرات وارد منطقه بهترین پاسخ نشوند. در اين مرور، برای بهبود صحت راه حل، باید سرعت ذرات را کاهش داد به اين منظور که ذرات به وزن کمتری برای نزديك شدن بهترین پاسخ نياز دارند. ممکن است اين دو وضعیت در طول عملکرد الگوريتم اتفاق يافتد. روش‌های تنظيم وزن تصادفي یا ثابت مناسب اين روش نیستند. روش تنظيم وزن به صورت خطی یا غيرخطی توسيط تعداد تكرار ذرات از وزن متوسط استفاده می‌کند تا بدون در نظر گرفتن شرایط مختلف هر ذره در هر نسل، بهينه سازی به نتایج مقبولی برسد. بنابراین مقدار استاندارد قبل اطمینانی برای ارزیابی وزن‌ها وجود ندارد. اگر ذره‌ای مقدار پاسخ بالايی داشته باشد، ممکن است برای تنظيم به مقدار مختلف وزن نياز داشته باشد [۳۲، ۳۱].

تعداد ذرات (*Popsize*) در الگوريتم PSO با توجه به نوع مسأله تعين می‌شود. اين سوال مطرح می‌شود که اندازه جمعیت ثابت در زمان اجرا فرآيند جستجو و تعداد تكرار تا رسيدن به پاسخ بهينه موثر است؟ افزایش تعداد ذرات اولیه موجب کاهش تعداد تكرارهای لازم برای همگرا شدن الگوريتم می‌گردد زیرا فضای جستجو با افزایش جمعیت بيشتر پوشش داده می‌شود. اما کاهش در تعداد تكرارها به معنی کاهش زمان اجرای برنامه برای رسيدن به همگرايی نیست. هرچند که افزایش تعداد ذرات اولیه کاهش تعداد تكرارها را در پی دارد. اما افزایش در تعداد ذرات باعث می‌شود تا در مرحله ارزیابی ذرات زمان ييشرتري صرف شود و اين افزایش

۲-۲- بورسي نقش و تأثيرات پارامترهای کنترلي الگوريتم PSO

پارامترهای کنترلي C_1 و C_2 در الگوريتم PSO نقش به سزاگی در نحوه همگرا شدن دارند. C_1 پارامتر کنترلي به منظور تعين تأثير نقش حرکت فردی هر عامل جستجو در فضای جستجو است. نحوه عملکرد آن بستگی به مقدار آن دارد. اگر C_1 شامل مقادير بزرگ باشد الگوريتم PSO دچار اغتشاش و آشوب می‌شود زيرا در اين حالت نقش هر عامل جستجو به صورت مجزا پر رنگ شده و همگرايی با مشكل مواجه می‌شود. در اين حالت ممکن است حتی با ورود به پاسخ بهينه سراسري^۱ همگرايی رخ ندهد و الگوريتم از پاسخ بهينه عبور کند. مقادير کم برای اين پارامتر آشتفتگی را به شدت کاهش می‌دهد و باعث می‌شود تا همگرايی به نقاط بهينه محلی^۲ تسهيل شود و الگوريتم توانايی خود را برای رهابی از فضای جستجو بر عهده دارد. پيشنهادات گوناگونی اعم از تغييرات خطی، انتخاب تصادفي و یا تغييرات غيرخطی برای اين پارامتر ارائه شده است. استفاده از مقادير تصادفي ممکن است در هنگام همگرايی به پاسخ‌های محلی و یا پاسخ سراسري کارآمد نباشد و همگرايی را با مشكل مواجه کند. تغييرات خطی و غيرخطی برای اين پارامتر نيز ممکن است در انتهای فرآيند جستجو الگوريتم را با يك پاسخ محلی مواجه کند. گاهی ممکن است در ابتدای فرآيند جستجو و توليد جمعیت اوليه تصادفي، الگوريتم بسيار نزديك به پاسخ سراسري باشد و انتخاب مقادير بزرگ برای C_1 ممکن است الگوريتم را از ناحيه شامل پاسخ سراسري دور کند.

C_2 پارامتر کنترلي برای مشخص کردن نقش رهبر گروه یا همان بهترین رفتار اجتماعي است. مقادير کوچک برای اين پارامتر نقش بهترین پاسخ یافته شده در گروه را پررنگ می‌کند. به اين ترتيب انتخاب مقادير بزرگ^۳ ذرات را حول بهترین پاسخ گروه فرامي خواند و باعث جمع شدن ذرات در فضای جستجو حول بهترین پاسخ گروه می‌گردد. در اين حالت ممکن است بهترین پاسخ گروه يك پاسخ محلی باشد و الگوريتم دچار خطأ شود. انتخاب مقادير کوچک برای اين پارامتر نيز باعث بروز آشتفتگی می‌شود و تأثير رفتار فردی ذرات را در پی دارد. بنابراین C_2 نقش استخراج^۴ را در فضای جستجو بر عهده دارد. برای اين پارامتر نيز مانند C_1 انتخاب تصادفي، تغييرات خطی و غيرخطی پيشنهاد شده است. مشكل اين روش‌ها اين است که انتخاب مقادير بزرگ در ابتدای فرآيند جستجو ممکن است باعث همگرايی محلی می‌شود. انتخاب مقادير بزرگ در انتهای فرآيند جستجو نيز هنگامی که الگوريتم در يك پاسخ محلی به دام افتاده است، باعث همگرايی محلی می‌گردد.

سومين پارامتر کنترلي مهم در الگوريتم PSO وزن اينرسی است. زمانی که w مقدار بالايی داشته باشد، الگوريتم توانايی همگرايی سراسري بالايی دارد، در حالی که وزن کم باعث می‌شود تا الگوريتم به نقاط بهينه

³ Exploration
⁴ Exploitation

¹ Global
² Local

تکرار جاری و خروجی آن ضرایب w , C_1 و C_2 است که با توجه به تغییرات بهترین پاسخ و تکرار جاری برای بالا بردن دقت و سرعت همگرایی به بهترین پاسخ سراسری تغییر می‌کند. میزان وزن w در محدوده $0/8$ تا $0/0$ تغییر می‌کند و مقدار آن در هر مرحله به عنوان $w(t)$ بازنگشتنی شود. مقادیر C_1 و C_2 نیز در هر مرحله براساس قوانین فازی طراحی شده، در هر مرحله بدروز رسانی می‌گردند. اندازه $Popsiz$ e در شروع الگوريتم بهروز رسانی می‌گردد. لازم به ذکر است که $Popsiz$ e در شروع الگوريتم مقدار داده می‌شود و میزان آن بین مقدار اولیه و صفر تغییر می‌کند. در جدول ۱ قوانین فازی استفاده شده در سیستم فازی به طور کامل ارائه شده است.

جدول ۱: قوانین فازی استفاده شده در FPSO

قوانین فازی

1. If ($Fbest$ is High) and (Iteration is Low) then ($C1$ is High)($C2$ is Low)(W is High)($Popsiz$ e is High)
2. If ($Fbest$ is High) and (Iteration is Median) then ($C1$ is High)($C2$ is Low)(W is High)($Popsiz$ e is High)
3. If ($Fbest$ is High) and (Iteration is High) then ($C1$ is High)($C2$ is Median)(W is Median)($Popsiz$ e is High)
4. If ($Fbest$ is Median) and (Iteration is Low) then ($C1$ is High)($C2$ is Low)(W is High)($Popsiz$ e is High)
5. If ($Fbest$ is Median) and (Iteration is Median) then ($C1$ is High)($C2$ is Low)(W is Median)($Popsiz$ e is High)
6. If ($Fbest$ is Median) and (Iteration is High) then ($C1$ is High)($C2$ is Median)(W is High)($Popsiz$ e is High)
7. If ($Fbest$ is Low) and (Iteration is Low) then ($C1$ is Median)($C2$ is High)(W is Low)($Popsiz$ e is High)
8. If ($Fbest$ is Low) and (Iteration is Median) then ($C1$ is Low)($C2$ is High)(W is Low)($Popsiz$ e is Median)
9. If ($Fbest$ is Low) and (Iteration is High) then ($C1$ is Low)($C2$ is High)(W is Low)($Popsiz$ e is Median)

۳- نحوه استفاده از روش FPSO در مسئله رديابي هدف متخر ک

به منظور به کارگیری روش پیشنهادی در حوزه رديابي هدف متخر ک در ویدئو لازم است تا ویژگی مناسبی برای توصیف هدف متخر ک در ویدئو انتخاب گردد. در این بخش ابتدا به معرفی ویژگی رنگ پرداخته شده است و سپس تابع برآزنده‌گی به کار گرفته شده برای ارزیابی هر یک از کاندیداهای تصویر که توسط الگوريتم FPSO انتخاب می‌شوند، معرفی شده است.

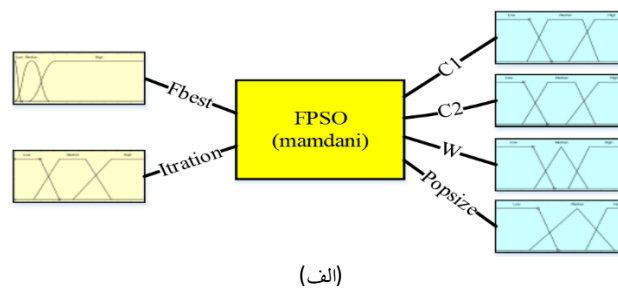
در زمان ارزیابی سبب افزایش زمان اجرای الگوريتم تاریخی به همگرایی با وجود کاهش تعداد تکرارها، می‌گردد. پس افزایش تعداد عوامل جستجو را نمی‌توان عاملی برای کاهش زمان اجرای در نظر گرفت. همچنین برای کاهش زمان اجرای الگوريتم نمی‌توان تعداد عوامل جستجو را کاهش داد. کاهش تعداد ذرات ممکن است موجب گیر افتادن در نقاط بهینه محلی شود و الگوريتم از رسیدن به پاسخ بهینه سراسری باز خواهد ماند.

تعداد تکرار (t) پارامتر دیگری است که در زمان اجرای الگوريتم موثر است کاهش تعداد تکرار باعث کاهش زمان اجرای الگوريتم و افزایش آن سبب افزایش زمان اجرای می‌گردد. با کاهش تعداد تکرار زمان اجرای الگوريتم کاهش می‌یابد اما جواب به دست آمده، ممکن است پاسخ بهینه‌ای برای مسئله نباشد زیرا ممکن است الگوريتم به طور ناقص اجرا شود. افزایش تعداد تکرار نیز تضمینی برای رسیدن به پاسخ سراسری نیست ممکن است الگوريتم در پاسخ یک پاسخ محلی به دام افتد و با افزایش تکرار پیشرفته در روند فرآیند جستجو حاصل نشود.

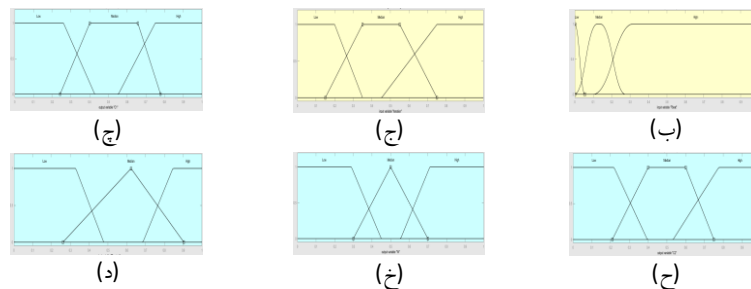
۲-۳- روش پیشنهادی برای فازی‌سازی الگوريتم PSO با

توجه به نقش پارامترهای کنترلی آن

برای حل مشکل‌های بیان شده، باید یک مصامحه بین پارامترهای کنترلی در یک الگوريتم بهینه‌سازی وجود داشته باشد. به این منظور استفاده از روش‌های تصادفی، خطی و غیرخطی کارایی چندانی در روند حل مسائل بهینه‌سازی نخواهد داشت. در این مقاله روشی برای بهبود تنظیم پارامترهای کنترلی ارائه شده است تا بتوان به صورت فازی به توصیف وضعیت یک عامل جستجو پرداخته شود. روش پیشنهادی در ادامه به اختصار با FPSO نمایش داده می‌شود. وقتی میزان بهترین پاسخ در هر مرحله مقدار بالایی داشته باشد به این معنی است که ذرات در موقعیتی دور از بهترین پاسخ سراسری به صورت خوش‌های جمع شده‌اند و تمام جمعیت به آرامی به راه حل بهینه نزدیک می‌شود. وقتی میزان بهترین پاسخ نسبتاً پایین باشد، به این معنی است که ذرات در نزدیکی راه حل بهینه نوسان دارند. این امر ما را برآن داشت تا سیستم فازی برای انتخاب مقادیر پارامترهای کنترلی طراحی نماییم. سیستم فازی^۱ شده در شکل ۲ ارائه شده است که در آن ورودی بهترین پاسخ PSO و شماره



^۱ Fuzzy System



شکل ۲: الف) سیستم فازی. ب) تابع عضویت ورودی Fbest (ج) تابع عضویت خروجی C1 (ج) تابع عضویت خروجی C2 (ج) تابع عضویت خروجی W (ج) تابع عضویت خروجی Popsize (ج) تابع عضویت خروجی C

با x نمایش داده شده است، وزن های کمتری اختصاص می دهد. زیرا این نواحی گاهی دچار انسداد و تداخل با پس زمینه تصویر گردیده و قابلیت اطمینان کمتری دارند بنابراین استفاده از این کرنل مقاومت مدل سازی هدف را افزایش می دهد. به این منظور از کرنل Epanechnikov که یک کرنل بهینه است استفاده می گردد. رابطه (۵) نحوه عملکرد این کرنل را نمایش می دهد.

$$k_E(x) = \begin{cases} \frac{1}{2} c_d^{-1} (d+2)(1 - \|x\|^2) & \text{if } \|x\| < 1 \\ 0 & \text{otherwise} \end{cases} \quad (5)$$

در رابطه (۵)، d نمایانگر بعد فضا و c_d برای ابعاد متفاوت مقادیر مختلف $c_1 = 2$ ، $c_2 = \pi$ و $c_3 = 4\pi/3$ را اخذ می نماید. q_u نمایش دهنده تابع چگالی احتمال مدل هدف است به طور مشابه برای مدل سازی کاندیداهای مختلف در یک فریم از $\{p_u(y)\}$ که نشان دهنده تابع چگالی احتمال در یک ناحیه به مرکز y است استفاده می شود. $p_u(y)$ به صورت رابطه (۶) بیان می گردد [۳۶].

$$p_u(y) = C_h \sum_{i=1}^n K\left(\left\|\frac{y-x_i}{h}\right\|^2\right) \delta[b(x_i) - u] \quad (6)$$

در رابطه (۶)، C_h ثابت نرمالیزه کننده که در آن h مقیاس هدف یا پنجره کرنل تعريف می گردد و به صورت رابطه (۷) نشان داده می شود.

$$C_h = \frac{1}{\sum_{i=1}^n K\left(\left\|\frac{y-x_i}{h}\right\|^2\right)} \quad (7)$$

به منظور مدل سازی هدف و مدل سازی کاندیداهای در هر فریم از تابع چگالی احتمال با کرنل Epanechnikov استفاده می شود. پس از مدل سازی نیاز است تا مدل های ارائه شده با یکدیگر تطبیق یافته و مدلی که بیشترین تطبیق را در هر فریم با هدف مورد نظر دارد به عنوان هدف در فریم جاری انتخاب گردد. به این منظور لازم است از یک معیار سنجش شباهت استفاده گردد که در بخش معیار سنجش شباهت معرفی شده است.

۳-۲- تابع برازنده‌گی

۱-۳- ویژگی رنگ

با معرفی هیستوگرام رنگ توسط سوین و بالارد^۱ در سال ۱۹۹۱ ویژگی های رنگی به طور گسترده در ریدیابی شی استفاده شده اند [۳۳]. ویژگی های رنگی وابستگی کمتری به اندازه، جهت گیری و زاویه دید تصویر دارند، به همین دلیل در توصیف یک صحنه یا یک شی توانمندی بیشتری دارند. ابتدا، ویژگی های رنگی باید فضای رنگی مناسب را به منظور توصیف یک صحنه انتخاب کند. سپس، ویژگی های رنگی سنجیده می شوند. سرانجام، باید معیار شباهت برای سنجش شباهت رنگی بین تصاویر تعریف شود. چند روش برای توصیف ویژگی های رنگی از قبیل هیستوگرامها، مجموعه های رنگ و بخش های رنگی وجود دارند که هیستوگرام رایج ترین ویژگی رنگی مورد استفاده در ریدیابی می باشد [۳۴، ۳۵]. در این روش ناحیه ای از تصویر که شامل هدف^۲ است با استفاده از هیستوگرام با m بین^۳ در فضای رنگی^۴ RGB توصیف می شود. تصویر مرجع توسط تابع چگالی احتمال رنگی $q_{u\{u=1,2,\dots,m\}}$ نشان داده می شود که این تابع، توزیع رنگی هدف را در یک فریم^۵ از ویدئو طبق رابطه (۳) تخمین می زند.

$$q_u = C \sum_{i=1}^n K\left(\left\|\frac{x-x_i}{h}\right\|^2\right) \delta[b(x_i) - u] \quad (3)$$

در رابطه (۳) $\{x_i\}_{i=1,2,\dots,n}$ مکان های نرمالیزه شده پیکسل در ناحیه هدف است. $b(x_i)$ مقدار اندیس پیکسل کوانتیزه شده در مکان پیکسل i است که مقدار پیکسل را به یک بین از هیستوگرام اختصاص می دهد. $u = 1, 2, \dots, m$ است که تعداد بین هیستوگرام را نشان می دهد. [۳] تابع دلتای کرونکر^۶ است. C ثابتی است که فرآیند نرمالیزه کردن را انجام می دهد تا شرط $\sum_{u=1}^m q_u = 1$ برآورده شود و به صورت رابطه (۴) بیان می شود [۳۶].

$$C = \frac{1}{\sum_{i=1}^n K\left(\left\|\frac{x-x_i}{h}\right\|^2\right)} \quad (4)$$

برای وزن دهی از کرنل ایزوتروپیک ($K(x)$) با پنجرهای به شعاع h استفاده می گردد. این کرنل به پیکسل های دورتر از مرکز ناحیه هدف که

⁴ Red-Green-Blue

⁵ Frame

⁶ Kronecker delta function

¹ Swain and Ballard

² Target

³ Bin

توانمندی يك روش را مورد تحليل قرار دهنده، به منظور نشان دادن عملکرد روش FPSO، با يكى از جدیدترین روش های بهينه سازی فراابتکاری تحت عنوان الگوريتم بهينه سازی سالپ (SSA) مقایسه شده است. اين روش از دسته روش های فراابتکاری الهام گرفته شده از رفتار اجتماعی می باشد.

[۱۹]

به منظور محاسبه برازندهای کاندیداهای موجود در يك تصوير و سنجش ميزان شباht از ضرب باتاچاریا^۱ استفاده شده است. اين ضرب ميزان و درجه شباht را برای دو هيستوگرام رنگی وزن داده شده هدف و کاندیداهای مختلف در يك فريم از ويدئو را اندازه گيری می کند. فاصله باتاچاریا به صورت رابطه (۸) بيان می گردد [۳۶].

جدول ۲: توابع محک

Function	Range	f_{min}
$F_1(x) = \sum_{l=1}^n x_l^2$	[-100,100]	0
$F_2(x) = \sum_{l=1}^n x_l + \prod_{l=1}^n x_l $	[-10,10]	0
$F_3(x) = \sum_{l=1}^n (\sum_{j=1}^l x_j)^2$	[-100,100]	0
$F_4(x) = \max_i\{ x_i , 1 \leq i \leq n\}$	[-100,100]	0
$F_5(x) = \sum_{l=1}^{n-1} [100(x_{l+1} - x_l)^2 + (x_l - 1)^2]$	[-30,30]	0
$F_6(x) = \sum_{l=1}^n [(x_l + 0.5)]^2$	[-100,100]	0
$F_7(x) = \sum_{l=1}^n l x_l^4 + random(0, 1)$	[-1.28,1.28]	0
$F_8(x) = \sum_{l=1}^n -x_l \sin(\sqrt{ x_l })$	[-500,500]	-418.98 $\times 5$
$F_9(x) = \sum_{l=1}^n [x_l^2 - 10 \cos(2\pi x_l) + 10]$	[-5.12,5.12]	0
$F_{10}(x) = -20 \exp\left(-0.2 \sqrt{\frac{1}{n} \sum_{l=1}^n x_l^2}\right) - \exp\left(\frac{1}{n} \sum_{l=1}^n \cos(2\pi x_l)\right) + 20 + e$	[-32,32]	0
$F_{11}(x) = \frac{1}{4000} \sum_{l=1}^n x_l^2 - \prod_{l=1}^n \cos\left(\frac{x_l}{\sqrt{l}}\right) + 1$	[-600,600]	0

نتایج حاصل شده از الگوريتم PSO فازی شده به FPSO نشان می دهد که این روش به صورت قابل ملاحظه ای پیشرفت داشته است. شکل ۴ شامل ۲ سنتون است که سنتون اول رسم توابع محک را در بازه های استفاده شده برای ارزیابی الگوريتم پیشنهادی نشان می دهد. برای ارزیابی از توابع محک F1، F2، F3، F5، F7، F9 و F10 استفاده شده است که به ترتیب در سنتون اول از شکل ۴ نمایش داده شده است. همان طور که در شکل ۴ قابل مشاهده است، توابع محک F1 تا F6 دارای يك نقطه بهينه سراسری هستند در حالی که توابع F7 تا F11 دارای تعداد زیادي نقطه بهينه محلی و يك نقطه بهينه سراسری هستند. سنتون دوم از شکل ۴ نمودارهای همگرایی را در تعداد ۱۰۰ تکرار برای سه روش PSO (رنگ آبی)، SSA (رنگ قرمز) و FPSO (رنگ سیاه) نمایش می دهد. در نمودارهای همگرایی مشاهده می شود که، با اين که روش های PSO و SSA به نقطه بهينه یعنی صفر نزديک شده اند اما روش FPSO توانيت است در تابع محک F7 در تعداد كمتر از ۵۰ تکرار به پاسخ بهينه سراسری صفر برسد که توانمندی اين روش را در حل اين نوع از مسائل بهينه سازی نشان می دهد اين در حالی است که FPSO توانيت است در تابع محک F5 و F11 در حدود ۶۰ تکرار به پاسخ بهينه سراسری برسد که باز هم توانمندی روش را در

$$d(y) = \sqrt{1 - \rho[p(y), q]} \quad (8)$$

ضربي باتاچاريا در رابطه (۸) مطابق با رابطه (۹) بيان می گردد.

$$\rho[p(y), q] = \sum_{u=1}^m \sqrt{p_u(y), q_u} \quad (9)$$

$p(y), q$ مقداري بين صفر تا يك دارد و زمانی که مقدار q برای هدف و $p(y)$ برای يك کاندید در يك فريم يکسان باشند مقدار $\rho[p(y), q] = 1$ است و هر چه اين ميزان به يك نزديکتر باشد ييانگر شباht ييشتر و همبستگي بالاتر است. بنابراین هر چه ميزان شباht يك کاندید به هدف موردنظر فرآيند رديابي ييشتر باشد مقدار ضرب باتاچاريا ييشتر و فاصله باتاچاريا کمتر است. هدف در فرآيند رديابي کميته سازی فاصله باتاچاريا می باشد.

۴- نتایج و پیشنهادات

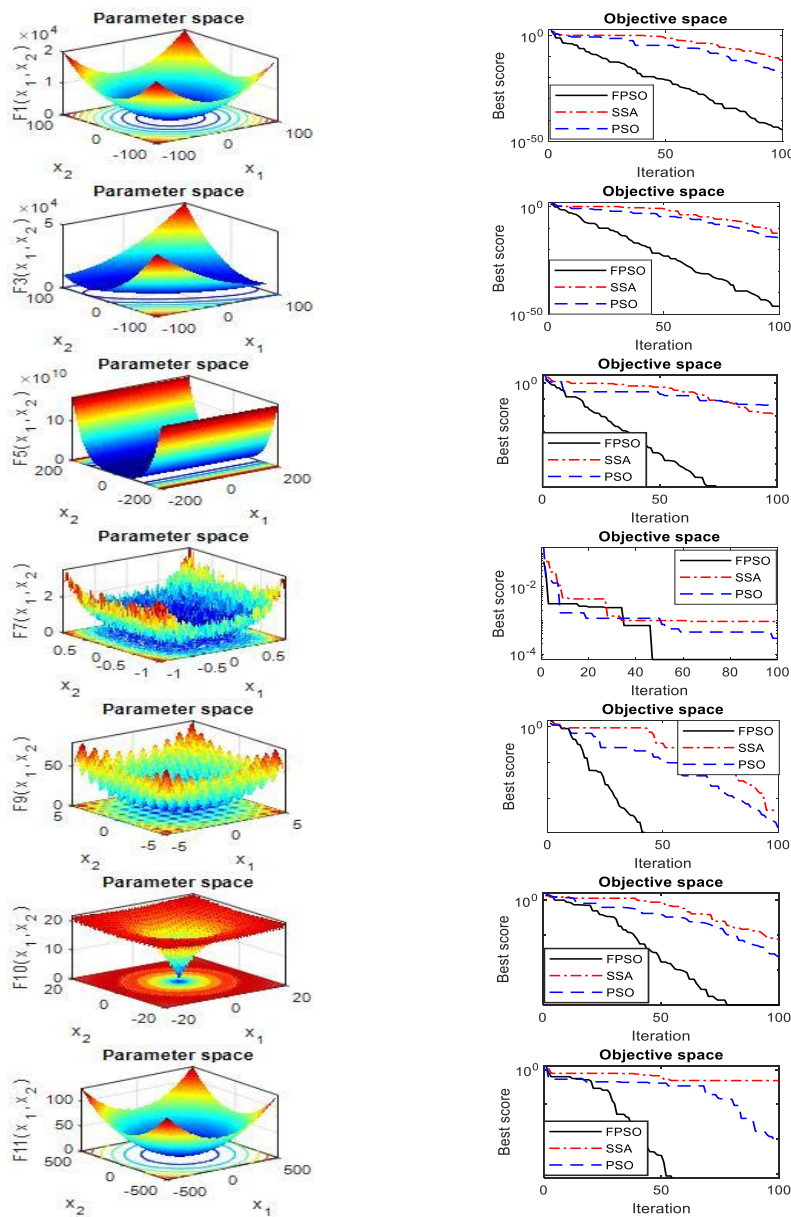
در اين قسمت ابتدا به معرفی توابع محک برای ارزیابی روش FPSO پرداخته شده است و سپس، نتایج حاصل از اين ارزیابی در قالب شکل ۴ و جداول ۳ و ۴ ذکر شده است. در ادامه تحلیلی از این نتایج ارائه گردیده است. در قسمت دوم پایگاه داده به کار گرفته شده به منظور بررسی عملکرد روش پیشنهادی در حوزه رديابي هدف متوجه است. سپس، نتایج حاصل از اين روش پیشنهادی با ۶ روش مرتبط و متداول در اين حوزه مقایسه و شده و موردن تحلیل قرار گرفته است. در انتها نتیجه گيري و پیشنهادات روی اين تحقیق ارائه گردیده است.

۴-۱- توابع محک^۲

تابع محک برای مسائل بهينه سازی به شکل کميته سازی موردن استفاده قرار می گيرند و به دو دسته ای Unimodal و Multimodal تقسيم می شوند. اين توابع در جدول ۲ ارائه شده اند. Range، محدوده جستجو در فضای جستجو و F_{min} نقطه بهينه را در فضای جستجو نشان می دهد. توابع F1 تا F6 دارای يك نقطه بهينه سراسری هستند و فرآيند استخراج را در فضای جستجو بررسی می کنند و عملکرد يك روش را مورد آزمایش قرار می دهند. توابع محک F7 تا F11 دارای چندین نقطه بهينه محلی هستند که به طور نمایي با افزایش بعد افزایش می یابند و به خوبی قادرندتا فرآيند اكتشاف را در فضای جستجو موردن آزمایش قرار دهنده و شایستگی و

² Benchmark functions

¹Bhattacharyya coefficient



شکل ۴: توابع محک و نمودار همگرایی برای سه روش FPSO و SSA و PSO

جدول ۳: بهترین پاسخ

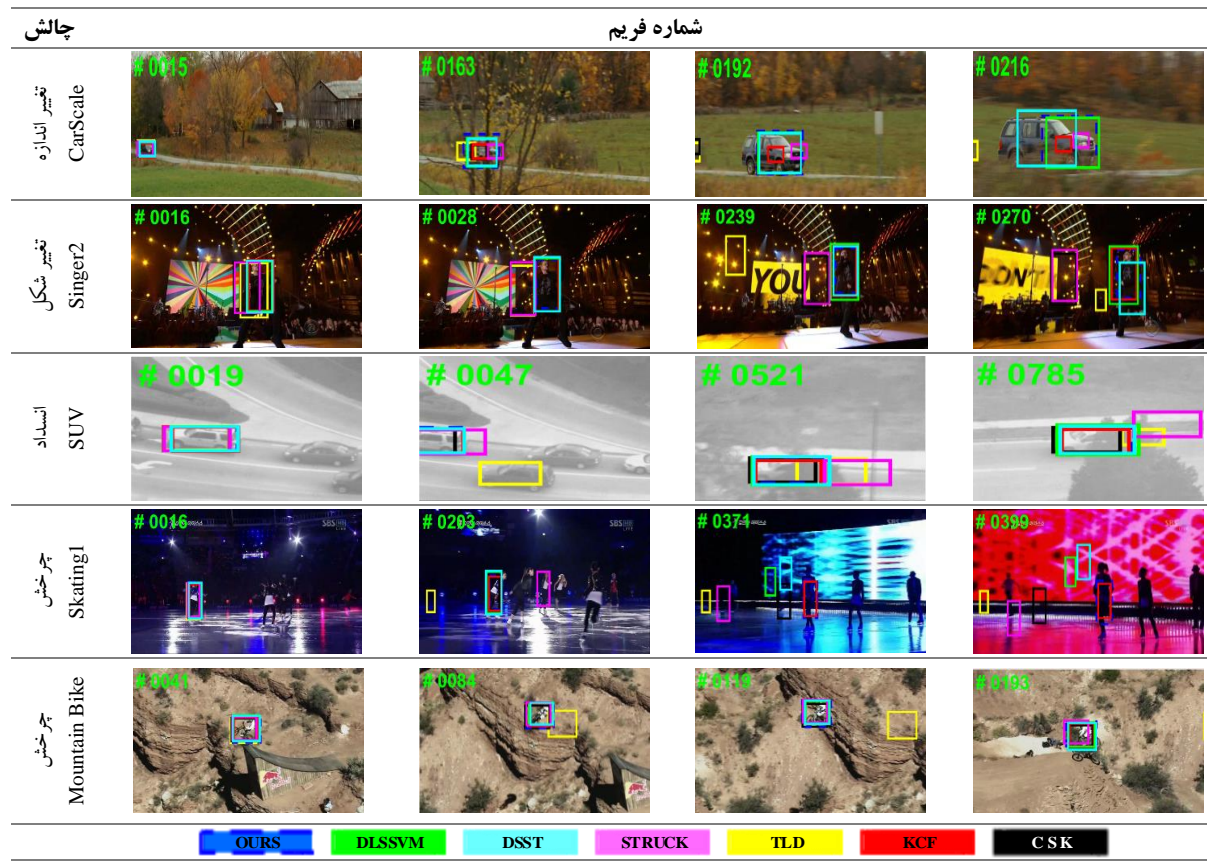
	F1	F3	F5	F7	F9	F10	F11
PSO	4.65E-17	4.59E-15	5.04E-07	1.97E-04	7.11E-15	4.95E-09	3.03E-011
SSA	6.94E-12	7.92E-12	1.70E-9	9.57E-05	3.14E-12	1.26E-06	0.0099
FPSO	2.78E-45	4.99E-47	0	6.86E-05	0	8.88E-16	0

جدول ۴: انحراف معیار بهترین پاسخ

	F1	F3	F5	F7	F9	F10	F11
PSO	40.5084	16.3141	8.2900	0.0191	0.4974	1.6649	0.1906
SSA	7.2919	5.0886	6.9000	0.0097	0.5130	1.3201	0.2107
FPSO	8.7670	1.2328	2.8218	0.0061	0.1367	1.2196	0.1898

در جدول ۳ مقادير بهترین پاسخ دست یافته در تعداد ۱۰۰ تکرار برای سه روش ذکر شده به صورت کمي ارائه شده است. جدول ۴ مقدار انحراف معیار را برای سه روش FPSO، SSA و PSO نشان می دهد. در اين جدول مشاهده می گردد که الگوريتم SSA مقادير انحراف معیار كمتری

این گونه مسائل نشان می دهد. در سایر توابع محک نيز FPSO بهتر از دو روش PSO و SSA عمل کرده است و به پاسخی بسیار نزدیک به پاسخ بهینه دست یافته است.



شكل ۵: ارزیابی ۵ دنباله ویدئویی برای ۴ چالش تغییر اندازه، تغییر شکل، اسداد و چرخش با استفاده از FPSO و ۶ روش مرسم رديابي.

- v_i و x_i برای تمامی ذرات به روز رسانی می شوند.
- مقدار بهترین پاسخ در هر مرحله بازنشانی می شود.
- ضرایب w , C_1 و C_2 و $Popsize$ در هر مرحله بازنشانی می شوند.
- بهترین پاسخ با بيشترین شباهت و كمترین فاصله طبق فاصله باتاچاريا به عنوان مكان شی متجر ک در فريم جاري انتخاب می شود.
- پایان.

۴-۲- پايگاه داده OTB50

پايگاه داده استفاده شده در اين مقاله، پايگاه داده OTB50 نام دارد که از جمله پايگاه داده های متداول در رديابي است [۳۷]. اين پايگاه داده شامل ۵۱ دنباله تصوير ويدئوي است که هر يك از اين ويدئوها شامل يك و يا چند چالش هستند. ويدئوها شامل ۱۱ چالش اند که می توان به تغيير شکل شی متجر ک^۴، تغيير ابعاد^۵، چرخش^۶، اسداد^۷ اشاره کرد. ارزیابي صورت گرفته روی اين ۴ چالش است که شامل ميزان متوسط دقت و متوسط نرخ موفقیت در مواجهه با هر يك از اين ۴ چالش می باشد. الگوريتم پيشنهادي با روش های مرسم در رديابي مقایسه شده است که می توان در اين حوزه

نسبت به روش PSO دارد به طوری که در تابع محک F1 دارای كمترین انحراف معیار است و اختلاف انحراف معیار الگوريتم SSA با الگوريتم FPSO بسیار زیاد است. در سایر توابع محک در جدول ۴، الگوريتم FPSO دارای كمترین مقادير انحراف معیار است که نتيجه آن پراکندگی ذرات در فضای جستجو است. علت اين امر سرعت همگرایي بسیار بالاي روش FPSO نسبت به روش های SSA و PSO است. همان طور که در نمودارها مشخص است، شب نمودارها برای الگوريتم FPSO بسیار زیاد است که نشان می دهد سرعت همگرایي بالاتر از دو الگوريتم دیگر است. از آن جایي که در مسائل عملی، عموما با پاسخ های محلی مواجه هستيم بنابراین روش FPSO شایستگی خود را در منگام مواجه شدن با اين دسته از مسائل نشان می دهد.

مراحل اجرای روش پيشنهادي به صورت زير است:

- مقادير اوليه v_i و x_i تعين می شوند.
- هدف در اولين فريم از ويدئو در چارچوب رديابي^۱ قرار گيرد.
- ويزگی شی هدف محاسبه می شود.
- برای تمامی فريمها
- برای تمامی تكرارها

⁴ Rotation

⁵ Occlusion

¹ Bounding Box

² Deformation

³ Scale variation

جدول ۵: متوسط معیار دقت برای پایگاه داده OTB50

نام روش	چرخش	انسداد	تفییر اندازه	تفییر شکل
CSK [6]	۲۶/۵۲	۲۴/۳۱	۳۳/۳۱	۲۹/۸۰
TLD [9]	۳۴/۵۰	۳۶/۲۰	۳۸/۹۰	۳۴/۵۰
KCF [7]	۴۶/۹۰	۵۴/۹۰	۵۲/۶۰	۴۸/۶۰
STRUCK [8]	۳۹/۲۰	۳۸/۳۵	۳۹/۶۲	۴۰/۵۱
DSST [10]	۴۸/۰۰	۵۰/۹۰	۵۷/۵۰	۴۸/۸۰
DLSSVM [38]	۵۶/۹۰	۵۱/۶۰	۶۸/۲۰	۶۱/۱۱
FPSO	۵۷/۵۰	۶۷/۰۴	۶۶/۹۰	۶۱/۱۵

در جدول ۵ مقادير کمي برای روش های مختلف برای معیار دقت نمایش داده شده است. از مقادير ثبت شده و مقاييس آنها می توان درياافت که روش FPSO در چالش های تغيير اندازه و تغيير شکل توانته است عملکرد بهتری را نسبت به سایر روش ها به نمایش بگذارد درحالی که روش DLSSVM در چالش انسداد عملکرد بهتری را ارائه کرده است. اما روش FPSO نيز مقدار نزديك به مقدار روش DLSSVM در چالش انسداد دارد. نتایج جدول ۵ برای سطح آستانه خطای بين صفر تا ۵۰ پیکسل بررسی شده است. منظور از سطح آستانه خطاء اختلاف فاصله میان مرکز محاسبه شده و مرکز واقعی هدف در يك فريم است که به كليه فريمهای تعيم شده شده و متوجه شده و متوجه گيری می شود. مقدار گزارش شده سطح زير منحنی دقت برای سطح آستانه خطای صفر تا ۵۰ پیکسل بر حسب درصد محاسبه شده است.

جدول ۶: متوسط معیار نرخ موفقیت برای پایگاه داده OTB50

نام روش	چرخش	انسداد	تفییر اندازه	تفییر شکل
CSK [6]	۲۳/۱۲	۲۴/۷۳	۲۷/۴۲	۲۵/۲۲
TLD [9]	۲۸/۵۰	۲۷/۱۰	۳۲/۶۰	۲۸/۲۰
KCF [7]	۴۴/۷۰	۴۲/۶۰	۳۴/۳۰	۳۷/۹۰
STRUCK [8]	۳۰/۳۴	۲۸/۹۶	۳۳/۹۱	۳۲/۱۰
DSST [10]	۴۰/۸۰	۴۳/۶۰	۴۵/۰۰	۴۳/۴۰
DLSSVM [38]	۴۲/۱۰	۴۷/۱۰	۴۰/۵۰	۴۲/۹۰
FPSO	۴۶/۸۰	۴۶/۸۰	۴۴/۸۶	۴۴/۸۰

جدول ۶ نرخ موفقیت را به ازای ۶ روش مرسوم و روش FPSO در معیار نرخ موفقیت نمایش می دهد. از مقایيس نتایج به دست آمده می توان درياافت که روش FPSO در چالش های تغيير شکل و چرخش توانته است عملکرد بهتری را نسبت به سایر روش ها به نمایش بگذارد. روش KCF پس از روش FPSO توانته است تا در مواجه با چالش چرخش بهترین مقدار DLSSVM را كسب کند. اما روش DSST در چالش تغيير اندازه و روش FPSO در چالش انسداد عملکرد بهتری را ارائه کرده است. با اين حال روش FPSO مقادير نزديك به اين دو روش را ثبت کرده است. مقادير گزارش شده سطح زير منحنی نرخ موفقیت برای سطح آستانه هم پوشانی صفر تا ۱۰۰ درصد است. در سطح آستانه ۱۰۰ درصد نرخ موفقیت كليه روش ها

به روش های [۶] CSK، [۸] STRUCK، [۹] TLD، [۱۰] DSST و [۳۸] DLSSVM اشاره کرد.

ارزیابی صورت گرفته در شکل ۵ برای روش FPSO و همچنین تعداد ۶ روش مرسوم در فرآیند ریدیابی می باشد. در هر سطر آن يك چالش بررسی شده است. به اين منظور از پایگاه داده OTB50 تعدادی از دنباله های ويدئویی انتخاب شده اند که چالش رخ داده در آن با شدت يشتري اتفاق می افتد. سطر اول از شکل ۵ شامل تعدادی از فریم های دنباله CarScale است. در این دنباله تغییرات مقیاس و یا اندازه در طول دنباله، به عنوان چالش مطرح شده است. در فریم های اولیه تمامی ریدیاب ها هدف را به درستی ریدیابی می کنند اما با تغییر مقیاس هدف ریدیاب TLD در فریم ۱۶۳ شروع به از دست دادن هدف می کند. به دنبال آن ریدیاب CSK نیز هدف را از دست می دهد. سایر ریدیاب ها از جمله ریدیاب FPSO قادرند تا هدف را آخرین فریم حفظ کنند. در سطر دوم، دنباله Singer2 جهت بررسی چالش تغییر شکل انتخاب شده است. منظور از تغییر شکل، تغییر فرم هدف مورد نظر است. غالباً این تغییر برای اجسام غیرصلب مانند بدن انسان اتفاق می افتد. در دنباله Singer2، خوانده در طول ویدئو حرکت می کند و بدن آن دچار تغییرات ظاهری می گردد. البته علاوه بر آن تغییرات روشنایی TLD پس زمینه در این دنباله بسیار شدید است. در این دنباله الگوریتم های STRUCK و پس از گذشت ۲۰ فریم هدف را به کلی از دست می دهند. در ادامه روش CSK نیز از ریدیابی هدف باز می ماند. در فریم های انتهایی روش DSST نیز از ریدیابی منحرف شده است و فقط روش FPSO و روش DLSSVM قادر به حفظ هدف در چارچوب ریدیابی هستند. سطر سوم دربردارنده دنباله SVU است که جهت بررسی چالش انسداد مطرح شده است. منظور از انسداد قرار گرفتن شی دیگری جلوی هدف ریدیابی است به گونه ای که بخشی و یا تمامی ظاهر هدف پوشانده شود. در این دنباله خودرو به سرعت حرکت می کند و توسط درختان دچار انسداد می شود. ریدیاب های TLD و CSK در این دنباله قادر به ریدیابی هدف نیستند و هدف را در مواجه شدن با انسداد از دست می دهنند. سطر چهارم دنباله Skating را برای چالش چرخش هدف معرفی می کند. در این دنباله شخص با سرعت زیاد حرکات نمایش شامل چرخش را انجام می دهد. در این دنباله ریدیاب TLD و STRUCK هدف را در فریم های ابتدایی از دست می دهنند. این در حالی است که پس از گذشت ۳۵۰ فریم ریدیاب های DLSSVM و CSK نیز هدف را به کلی از دست می دهنند. در این دنباله تنها روش FPSO و الگوریتم KCF قادرند تا انتهای دنباله هدف ریدیاب را دنبال کنند. سطر پنجم نمونه ای دیگر از چرخش را طی دنباله MountainBike نشان می دهد. در فریم ۱۱۹ ام از این دنباله ریدیاب TLD هدف را به طور كامل از دست می دهد این در حالی است که سایر ریدیاب ها هدف را تا انتهای ویدئو حفظ می کنند.

مراجع

- [1] M. Swathy, P. Nirmala and P. Geethu, "Survey on vehicle detection and tracking techniques in video surveillance", International Journal of Computer Applications, vol. 160, no. 7, pp. 22-28, 2017.
- [2] I. Pham and M. Polasek, "Algorithm for military object detection using image data", IEEE/AIAA 33rd Digital Avionics Systems Conference (DASC), pp. 1-15, 2014.
- [3] A. Yilmaz, O. Javed and M. Shah, "Object tracking: A survey", Acm computing surveys (CSUR), vol. 38, no. 4, pp. 13-20, 2006.
- [4] B. Zhuang, H. Lu, Z. Xiao, and D. Wang, "Visual tracking via discriminative sparse similarity map", IEEE Transactions on Image Processing, vol. 23, no. 4, pp. 1872-1881, 2014.
- [5] H. Farsi, "Improvement of minimum tracking in minimum statistics noise estimation method", Signal Processing: An International Journal (SPIJ), vol. 4, no. 1, pp. 17-25, 2010.
- [6] J. F. Henriques, R. Caseiro, P. Martins and J. Batista, "Exploiting the circulant structure of tracking-by-detection with kernels", European conference on computer vision, pp. 702-715, 2012.
- [7] J. F. Henriques, R. Caseiro, P. Martins and J. Batista, "High-speed tracking with kernelized correlation filters", IEEE Transactions on pattern analysis and machine intelligence, vol. 37, no. 3, pp. 583-596, 2015.
- [8] S. Hare et al., "Struck: Structured output tracking with kernels", IEEE Transactions on pattern analysis and machine intelligence, vol. 38, no. 10, pp. 2096-2109, 2016.
- [9] Z. Kalal, K. Mikolajczyk and J. Matas, "Tracking-learning-detection", IEEE Transactions on pattern analysis and machine intelligence, vol. 34, no. 7, pp. 1409-1422, 2012.
- [0] M. Danelljan, G. Häger, F. S. Khan and M. Felsberg, "Discriminative scale space tracking," IEEE transactions on pattern analysis and machine intelligence, vol. 39, no. 8, pp. 1561-1575, 2017.
- [1] K. Zhang, L. Zhang, Q. Liu, D. Zhang and M. Yang, "Fast visual tracking via dense spatio-temporal context learning", European conference on computer vision, pp. 127-141, 2014.
- [2] D. S .Bolme, J. R. Beveridge, B. A. Draper and Y. M. Lui, "Visual object tracking using adaptive correlation filters", IEEE Conference on Computer Vision and Pattern Recognition (CVPR), pp. 2544-2550, 2010.
- [3] M. Danelljan, G. Häger, F. Khan and M. Felsberg, "Accurate scale estimation for robust visual tracking", British Machine Vision Conference, pp. 1-5, 2014.
- [4] M. Gao, X. He, D. Luo, J. Jiang and Q. Teng, "Object tracking using firefly algorithm", IET Computer Vision, vol. 7, no. 4, pp. 227-237, 2013.
- [5] N. Hussain, A. Khan, S. G. Javed and M. Hussain, "Particle swarm optimization based object tracking using HOG features", IEEE 9th International

نzdبک به صفر شده و در سطح آستانه های نzdبک به صفر نرخ موفقیت مقادیر بالای دارند. بنابراین برای قابل اطمینان بودن یک روش باید به ازای تمامی سطوح آستانه هم پوشانی، نرخ موفقیت محاسبه شود و متوسط گیری شود و یا به عبارت دیگر سطح زیر منحنی نرخ موفقیت برای سطح آستانه هم پوشانی صفرتا ۱۰۰ درصد محاسبه شود.

جدول ۷ متوسط زمان اجرای هر الگوریتم را روی پایگاه داده OTB50 به ازای هر فریم بیان می کند. زمان اجرا بر حسب میلی ثانیه است. در این جدول مشاهده می شود که روش CSK دارای کمترین زمان اجرا است و به عبارتی سریعترین الگوریتم می باشد. پس از آن روش KCF دارای سرعت قابل توجه ۵/۴۰۵ میلی ثانیه است که در مقایسه با روش های جدیدتر و روش پیشنهادی دارای سرعت بالایی است. روش های DSST و DLSSVM با توجه به بالا بودن مقادیر نرخ موفقیت و دقت در ریدیابی دارای سرعت های پایین هستند که این یک ضعف برای این روش ها محسوب می شود. این در حالی است که روش پیشنهادی با ثبت زمان ۱۶/۷۳۱ میلی ثانیه توانسته است سرعت قابل توجهی را با توجه به دقت و نرخ موفقیت بالای خود کسب کند.

۴-۳- نتیجه گیری و پیشنهادات

در این مقاله روش جدیدی به منظور بهبود عملکرد الگوریتم بهینه سازی از دحام ذرات ارائه گردید و ایده استفاده از پارامترهای کنترلی به صورت فازی در این الگوریتم به جای استفاده از مقادیر ثابت و یا خطی و غیرخطی باعث گردید تا، علاوه بر رسیدن به پاسخ مناسب، سرعت همگرایی نیز بالاتر رود. نتایج تجربی نشان داد روش پیشنهادی در مقایسه با سایر روش های ریدیابی مورد مقایسه، توانسته است در ۵۱ دنباله ویدیو شامل چالش های متفاوت از پایگاه داده OTB50 بهترین نتایج را در معیار دقت روی چالش های تغییرات اندازه، تغییرات شکل و چرخش و نتیجه مطلوبی در چالش انسداد کسب کند. همچنین در معیار نرخ موفقیت در چالش های چرخش و تغییر شکل بهترین نتایج و در حالت تغییر اندازه و انسداد نیز نتایج مطلوبی را کسب نماید. این معیارها برتری روش پیشنهادی را نسبت به سایر روش های موجود نشان می دهد. الگوریتم PSO فازی شده علاوه بر کاربرد در زمینه ریدیابی قابلیت استفاده در سایر زمینه های بهینه سازی را دارد. همان طور که در بخش نتایج ملاحظه شد، این روش عملکرد خوبی را در برابر توابع محکم از خود نشان داد. استفاده از این روش در ریدیابی باعث می شود تا به جای این که کلیه پنجره های یک تصویر اسکن شود، نقاط تصادفی از تصویر مورد بررسی قرار گرفته و برای هر نقطه تصادفی ویژگی رنگی وزن دار محاسبه شود و فاصله باتاچاریا برای هر کاندید محاسبه گردد. سپس در طول تکرارهای الگوریتم FPSO این فاصله به حداقل برسد و مکان هدف در هر فریم با دقت مطلوبی شناسایی گردد. هر چند این روش هنوز نیاز به بررسی در زمینه دقت عملکرد دارد، با این حال، می توان ادعا کرد روش پیشنهادی ارائه شده در این مقاله می تواند اشیا متخر ک را در یک دنباله ویدیویی به صورت مطلوبی ریدیابی کند.

- in optimization of fuzzy controllers”, Algorithms, vol. 10, no. 3, p. 101-128, 2017.
- [30] F. Valdez, J. C. Vazquez and F. Gaxiola, “Fuzzy dynamic parameter adaptation in ACO and PSO for designing fuzzy controllers: the cases of water level and temperature control”, Advances in Fuzzy Systems, vol. 2018, no. 1, pp. 1-19, 2018.
- [31] B. Borowska, “Nonlinear inertia weight in particle swarm optimization”, 12th International Scientific and Technical Conference on Computer Sciences and Information Technologies (CSIT), vol. 1 ,pp. 296-299, 2017.
- [32] C. Du, Z .Yin, Y. Zhang, J. Liu, X. Sun and Y. Zhong, “Research on active disturbance rejection control with parameter autotune mechanism for induction motors based on adaptive particle swarm optimization algorithm with dynamic inertia weight”, IEEE Transactions on Power Electronics, vol. 34, no. 3, pp. 2841-2855, 2019.
- [33] M. Swain and D. Ballard, “Color indexing”, Computer Vision, vol. 7, no. 1, pp. 11-32, 1991.
- [34] D. Zhang, J. Zhang and C. Xia, “Multi-complementary model for long-term tracking”, Sensors, vol. 18, no. 2, pp. 527-552, 2018.
- [35] L. Luo and X. Fan, “Immune particle filter algorithm for target tracking based on histograms of color and oriented gradient”, Optical Sensing and Imaging Technology and Applications, vol. 10462, pp. 104622Q, 2017.
- [36] A. Sharma, A. Malik and R. Rohilla, “A robust mean shift integrating color, GLCM based texture features and frame differencing”, International Journal of Scientific and Engineering Research, vol. 7, no. 2, pp. 1386-1398, 2016.
- [37] Y. Wu, J. Lim and M. Yang, “Online object tracking: A benchmark”, IEEE Computer vision and pattern recognition (CVPR), pp. 2411-2418, 2013.
- [38] J. Ning, J. Yang, S. Jiang, L. Zhang and M. Yang, “Object tracking via dual linear structured SVM and explicit feature map”, Proceedings of the IEEE conference on computer vision and pattern recognition, pp. 4266-4274, 2016.
- Conference on Emerging Technologies (ICET), pp. 1-6, 2013.
- [6] F. Sha, C. Bae, G. Liu, X. Zhao, Y. Chung and W. Yeh, “A categorized particle swarm optimization for object tracking”, IEEE Congress on Evolutionary Computation (CEC), pp. 2737-2744, 2015.
- [7] C .Bae, K. Kang, G. Liu and Y. Chung, “A novel real time video tracking framework using adaptive discrete swarm optimization”, Expert Systems with Applications, vol. 64, no. 1, pp. 385-399, 2016.
- [8] J. Kennedy, “Particle swarm optimization”, Encyclopedia of machine learning, pp. 760-766, 2010.
- [9] S. Mirjalili, A. Gandomi, S. Z. Mirjalili, S. Saremi, H. Faris and S. M. Mirjalili, “Salp Swarm Algorithm: A bio-inspired optimizer for engineering design problems”, Advances in Engineering Software, vol. 114, pp. 163-191, 2017.
- [20] S. Mirjalili and A. Lewis, “The whale optimization algorithm”, Advances in engineering software, vol. 95, pp. 51-67, 2016.
- [21] S. Mirjalili, “SCA: a sine cosine algorithm for solving optimization problems”, Knowledge-Based Systems, vol. 96, pp. 120-133, 2016.
- [22] J. Kennedy and R. Eberhart, “Particle swarm optimization (PSO)”, IEEE International Conference on Neural Networks, Perth, Australia, pp. 1942-1948, 1995.
- [23] Y. Shi and R. Eberhart, “A modified particle swarm optimizer”, IEEE international conference on evolutionary computation proceedings world congress on computational intelligence (Cat. No. 98TH8360), pp. 69-73, 1998.
- [24] A. Chatterjee and P. Siarry, “Nonlinear inertia weight variation for dynamic adaptation in particle swarm optimization”, Computers and operations research, vol. 33, no. 3, pp. 859-871, 2006.
- [25] H. Zhu, C. Zheng, X. Hu and X. Li, “Adaptive PSO using random inertia weight and its application in UAV path planning”, Seventh International Symposium on Instrumentation and Control Technology: Measurement Theory and Systems and Aeronautical Equipment, vol. 7128, p. 712814-712819, 2008.
- [26] T. Niknam, “A new fuzzy adaptive hybrid particle swarm optimization algorithm for non-linear, non-smooth and non-convex economic dispatch problem”, Applied Energy, vol. 87, no. 1, pp. 327-339, 2010.
- [27] Y. Maldonado, O. Castillo and P. Melin, “Particle swarm optimization of interval type-2 fuzzy systems for FPGA applications”, Applied Soft Computing, vol. 13, no. 1, pp. 496-508, 2013.
- [28] T. Krzeszowski and K. Wiktorowicz, “Evaluation of selected fuzzy particle swarm optimization algorithms”, Federated Conference on Computer Science and Information Systems (FedCSIS), pp. 571-575, 2016.
- [29] F. Olivas, L. Amador-Angulo, J. Perez, C. Caraveo, F. Valdez and O. Castillo, “Comparative study of type-2 fuzzy particle swarm, bee colony and bat algorithms